

01;07

К динамической теории фокусирующего спектрометра Кошуа

© Т. Чен

Московская государственная академия тонкой химической технологии им. М.В. Ломоносова,
119571 Москва, Россия
e-mail: docent65@mtu-net.ru, physicist@rambler.ru

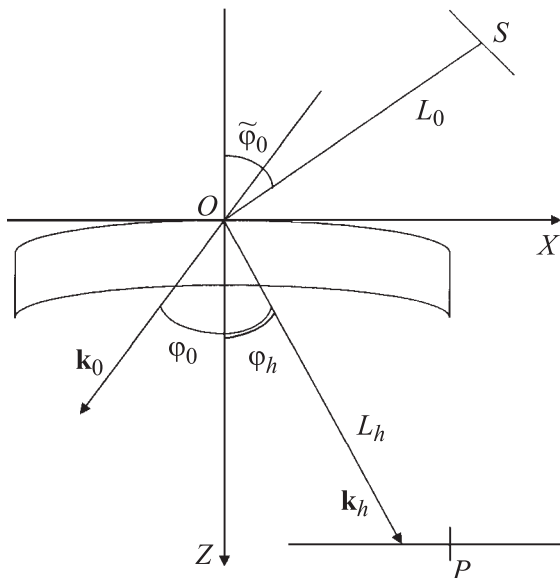
(Поступило в Редакцию 10 октября 2006 г.)

Представлена динамическая теория Лауэ-дифракции рентгеновской волны на совершенном изогнутом кристалле в схеме Кошуа. Рассмотрены случаи сферически расходящейся и сходящейся волн. Получены оценки спектрального разрешения фокусирующего спектрометра по Кошуа.

PACS: 41.50.+h, 78.70.Ck, 07.85.Nc

Наиболее известной схемой фокусировки рентгеновского излучения при его Лауэ-дифракции на изогнутом кристалле является схема, предложенная в 1930-х гг. И. Кошуа [1–3]. Первый в СССР кристалл-дифракционный фокусирующий спектрометр Кошуа был создан в 1950-х гг. [4]. Спектрометр по Кошуа часто использовался в экспериментальных и теоретических работах по рентгено- и гамма-спектральному анализу [5–23]. В ряде работ предложена комбинированная схема Кошуа–Иоганссона [15–18].

При этом в большинстве теоретических исследований дифракция рентгеновских лучей в изогнутом кристалле рассматривалась лишь кинематически. Автору настоящей работы известны лишь две статьи [8,9], в которых рассматривалась динамическая дифракция рентгеновского излучения в схеме Кошуа.



Геометрия Лауэ-дифракции сферической волны на изогнутом кристалле. $\mathbf{k}_{0,h}$ — волновые вектора падающей и дифрагированной волн, соответствующие точному брэгговскому условию, $\mathbf{k}_h = \mathbf{k}_0 + \mathbf{h}$, \mathbf{h} — вектор обратной решетки идеального кристалла, S — точечный источник рентгеновского излучения, P — точка наблюдения.

Целью настоящей статьи является дальнейшее развитие теории динамической дифракции рентгеновской волны в схеме Кошуа. За основу берется теория лауэ-дифракции рентгеновского излучения в изогнутых совершенных кристаллах, построенная в работах Ф.Н. Чуховского с соавторами [8,24,25].

Рассмотрим изогнутый совершенный кристалл, обращенный выпуклой стороной к протяженному источнику рентгеновского излучения (см. рисунок). Пусть из точечного источника S , входящего в состав протяженного источника, исходит сферическая волна.

Вычислим поле дифрагированной волны на выходной поверхности изогнутого кристалла. Согласно динамической теории Лауэ-дифракции рентгеновских лучей на изогнутом кристалле [24,25], амплитуда дифрагированной волны на выходной поверхности кристалла имеет следующий вид:

$$E_h(\mathbf{r}_T) = \exp \left[i q_0 x_T + i 4^{-1} a^{-1} \chi \chi_0 t (\gamma_0^{-1} a_h + \gamma_h^{-1} a_0) \right. \\ \left. + 2^{-1} i R^{-1} \chi \gamma_h (x_T - a_h t)^2 - 4 i a^2 B t^2 + i \pi / 2 + i \chi L_0 \right] \\ \times L_0^{-1} \sigma_h \int_{-\infty}^{+\infty} dx \exp(-i \chi \gamma_0 \Delta \theta x) \exp \left[i \chi (\gamma_0^2 x^2 + y^2) / (2 L_0) \right. \\ \left. - i \chi y^2 x \sin \varphi_0 / (2 L_0^2) - i 2^{-1} R^{-1} \chi \gamma_0 x^2 - i q_0 x \right] (2 \pi)^{-1} \\ \times \int_{-\infty}^{+\infty} dk \exp[-i k (x_T - x + a_0 t)] \times G_h(k, t). \quad (1)$$

Здесь введены следующие обозначения: $q_0 = = \chi \chi_0 (\gamma_0^{-1} - \gamma_h^{-1}) / (4 a)$, $2 a = a_0 - a_h$, $a_{0,h} = \text{tg } \varphi_{0,h}$, $\sigma_h = = C \chi \chi_h \gamma_0 / (2 \sin 2 \theta_B)$, $\mathbf{r}_T = (x_T, y_T)$, R — радиус изгиба кристалла, L_0 — расстояние от точечного источника до центра кристалла, $\chi = 2 \pi / \lambda$, λ — длина волны падающего излучения, γ_0 и γ_h — направляющие косинусы для волновых векторов падающего и отраженного излучений, $\varphi_{0,h} = \text{arccos } \gamma_{0,h}$, θ_B — брэгговский угол, $\Delta \theta = \tilde{\varphi}_0 - \varphi_0$, χ_0 и χ_h — фурье-компоненты рентгеновской поляризуемости, C —

поляризационный фактор, t — толщина кристалла, $G_h(k, t)$ — фурье-компонента функции Грина для изогнутого совершенного кристалла, B — градиент деформации.

В дальнейшем мы будем рассматривать кристалл, отражающие плоскости которого совпадают с нормальными поперечными сечениями и располагаются веерообразно, т.е. градиент деформации $B = 0$ [8].

Согласно рентгено-оптическому принципу Гюйгенса–Френеля, дифрагированная волна в вакууме на расстоянии L_h от кристалла является сверткой дифрагированной волны $E_h(\mathbf{r}_T)$ на выходной поверхности кристалла с функцией Грина в вакууме $G_0(\mathbf{r})$:

$$E_h(\mathbf{r}_P) \exp[i\mathbf{k}_h \mathbf{r}_P] = 2 \exp(-i\pi/2)\chi\gamma_h \times \int d^2\mathbf{r}_T E_h(\mathbf{r}_T) \exp[i\mathbf{k}_h \mathbf{r}_T] G_0(\mathbf{r}_P - \mathbf{r}_T), \quad (2)$$

$$G_0(\mathbf{r}) = \exp(i\chi r)/(4\pi r).$$

В рамках параболического приближения разложим функцию $G_0(\mathbf{r}_P - \mathbf{r}_T)$, ограничившись в фазе квадратичными по координатам слагаемыми

$$G_0(\mathbf{r}_P - \mathbf{r}_T) \cong (4\pi L_h)^{-1} \exp(i\chi L_h) \exp[-i\chi x_T \sin \varphi_h + i(2L_h)^{-1} \chi (\gamma_h^2 \{x_P - x_T - L_h \sin \varphi_h\}^2 + \{y_P - y_T\}^2) \times \{1 - \sin \varphi_h (x_P - x_T - L_h \sin \varphi_h)/L_h\}]. \quad (3)$$

Тогда амплитуда дифрагированной волны в вакууме равна

$$E_h(\mathbf{r}_P) \exp[i\mathbf{k}_h \mathbf{r}_P] = 2(2\pi)^{-1} \exp(-i\pi/2)\chi\gamma_h \times \exp\{i4^{-1}a^{-1}\chi\chi_0 t (\gamma_0^{-1}a_h + \gamma_h^{-1}a_0) + i\chi L_0\} L_0^{-1} \sigma_h \times \int dx_T \exp\{i q_0 x_T - i k x_T + 2^{-1}iR^{-1}\chi\gamma_h (x_T - a_{ht})^2 + 2^{-1}iL_h^{-1}\chi\gamma_h^2 x_T^2 - iL_h^{-1}\chi\gamma_h^2 x_P x_T + i\chi\gamma_h^2 x_T \sin \varphi_h\} \times \int_{-\infty}^{+\infty} dk \exp[-ik(x + a_0 t)] \times G_h(k, t). \quad (4)$$

При $L_h = -R\gamma_h$, что соответствует схеме Кошуа со сферически расходящейся волной, падающей на выпуклый кристалл, в интеграле по x_T пропадают квадратичные члены. В этом случае при бесконечных пределах интегрирования интеграл по x_T сводится к δ -функции, и интеграл по k немедленно вычисляется, приводя к результату, полученному в [8].

Рассмотрим теперь симметричную дифракцию, когда $\gamma_0 = \gamma_h = \cos \theta_B$. Кроме того, пусть $L_h = -R \cos \theta_B = -L_0$, где $L_0 < 0$, что соответствует расположению

мнимого источника на круге Роуланда. Тогда интеграл по x в (1) сводится к δ -функции, а интеграл по k равен

$$G_h(q_0 + \chi\gamma_0 \Delta\theta) \exp[-i(q_0 + \chi\gamma_0 \Delta\theta)(x_T + a_0 t)]. \quad (5)$$

Амплитуда дифрагированной волны в вакууме равна

$$E_h(\mathbf{r}_P) \exp[i\mathbf{k}_h \mathbf{r}_P] = 2(2\pi)^{-1} \exp(-i\pi/2)\chi\gamma_h \times \exp\{i4^{-1}a^{-1}\chi\chi_0 t (\gamma_0^{-1}a_h + \gamma_h^{-1}a_0) + i\chi L_0 - i q_0 a_0 t - i\chi\gamma_0 \Delta\theta a_0 t + 2^{-1}iR^{-1}\chi\gamma_h a_h^2 t^2\} L_0^{-1} \sigma_h \times G_h(q_0 + \chi\gamma_0 \Delta\theta) \int dx_T \exp\{-i\chi\gamma_0 \Delta\theta x_T - iR^{-1}\chi\gamma_h x_T a_{ht} - iL_h^{-1}\chi\gamma_h^2 x_P x_T + i\chi\gamma_h^2 x_T \sin \varphi_h\}. \quad (6)$$

Выражение (6) дает амплитуду волны в схеме Кошуа при падении на кристалл сферически сходящейся волны. Фокусом является мнимый фокус, расположенный на круге Роуланда. В работе [8] рассматривался лишь случай расходящейся волны, но было отмечено, что более резкая фокусировка должна получаться при падении на кристалл сходящейся волны.

В рамках параболического приближения для фазы падающей и дифрагированной волн интеграл по x_T в (6) должен вычисляться с конечными пределами интегрирования: $-x_{\text{eff}} \leq x_T \leq x_{\text{eff}}$. Результатом интегрирования является функция $2 \sin(Ax_{\text{eff}})/A$, где $A = -L_h^{-1}\chi\gamma_h^2 x_P - \chi\gamma_0 \Delta\theta - R^{-1}\chi\gamma_h a_{ht} + \chi\gamma_h^2 \sin \varphi_h$. Заметим, что главный максимум смещен относительно точки геометрического фокуса $x_P = 0$. Кроме того, видно, что при фокусировке сходящейся волны распределение интенсивности вблизи фокуса оказывается зависящим от положения произвольного точечного источника, входящего в состав протяженного источника.

Полагая аргумент синуса в функции распределения интенсивности равным π , находим дифракционное уширение фокуса $\Delta x_{P,F}$:

$$\Delta x_{P,F} = \pi L_h / (\chi\gamma_h^2 x_{\text{eff}}). \quad (7)$$

Для симметричного (220)-отражения CuK_α -излучения от кристалла кремния, изогнутого с радиусом $R = 1$ м, и при $x_{\text{eff}} = 10^{-2}$ м получим $\Delta x_{P,F} \sim 10^{-8}$ м.

Спектральное разрешение фокусирующего спектрометра Кошуа равно

$$\Delta\lambda/\lambda = -\text{ctg} \theta_B (\Delta\theta)_F, \quad (\Delta\theta)_F = \Delta x_{P,F} \gamma_h / L_h. \quad (8)$$

Теоретическая оценка на основе (8) дает $\Delta\lambda/\lambda \sim 10^{-8}$.

Учитывая протяженность источника в схеме Кошуа, следует вместо $\Delta x_{P,F}$ подставить в (8) размер l источника. Тогда получим более реальную оценку для спектрального разрешения. Например, при $l \cong 10^{-3}$ м имеем $\Delta\lambda/\lambda \sim 10^{-3}$, что согласуется с экспериментальными данными [14].

Список литературы

- [1] *Cauchois Y* // J. Phys. Rad. 1932. Vol. 3. P. 320–336.
- [2] *Cauchois Y* // Comp. Rend. Acad. Sci. ПВ. 1932. Vol. 194. P. 362–365.
- [3] *Cauchois Y* // Ann. Phys. 1934. Vol. 1. P. 215–266.
- [4] *Лукирский П.И., Сумбаев О.И.* // Изв. АН СССР. Сер. Физ. 1956. Т. 20. С. 903.
- [5] *Kazi A.H., Rasmussen N.C., Mark H.* // Rev. Sci. Instr. 1960. Vol. 31. P. 983–987.
- [6] *Sumbaev O.I., Smirnov A.I.* // Nucl. Instr. and Meth. 1963. Vol. 22. P. 125–137.
- [7] *Тюнис А.В., Самсонов В.М., Сумбаев О.И.* Кристалл-дифракционный спектрометр для измерения химических смещений рентгеновских линий *L*-серии актинидов. Препринт ЛИЯФ-151. Л., 1975. 16 с.
- [8] *Габриелян К.Т., Чуховский Ф.Н., Пинскер З.Г.* // ЖТФ. 1980. Т. 50. Вып. 8. С. 1641–1646.
- [9] *Сумбаев О.И., Лапин Е.Г.* // ЖЭТФ. 1980. Т. 78. Вып. 2. С. 802–812.
- [10] *Григорьев Б.В., Иванов Ю.М., Денисов А.С.* и др. Кристалл-дифракционный спектрометр по Кошуа для изучения рентгеновского излучения пионных атомов на синхротронном ЛИЯФ. Препринт ЛИЯФ-1232. Л., 1986. 50 с.
- [11] *André J.M., Kefi M., Avila A., Couillaux P., Bonnelle C.* // Rev. Sci. Instr. 1987. Vol. 58. P. 374–378.
- [12] *Verma B.S., Serikov I.V.* // X-Ray Spectrometry. 1990. Vol. 19. Iss. 3. P. 129–132.
- [13] *Deshpande S.D., Moghe N.V., Sapre V.B., Mande C.* // Meas. Sci. Technol. 1990. Vol. 1. P. 1250–1253.
- [14] *Badura E., Besch H.J., Beyer H.F.* et al. // Scientific report JB-Tech-97. 1997.
- [15] *Baronova E.O., Stepanenko M.M.* // Nukleonika. 2001. Vol. 46. P. S53–S56.
- [16] *Baronova E.O., Stepanenko M.M., Lider V.V., Pereira N.R.* // Proc. Workshop on Curved Crystals. Weimar, Germany, 1964.
- [17] *Баронова Е.О., Степаненко М.М.* // Прикладная физика. 2001. № 2. С. 106–111.
- [18] *Baronova E.O., Stepanenko M.M., Pereira N.R.* // Rev. Sci. Instr. 2001. Vol. 72 (2). P. 1416–1420.
- [19] *Hiraoka N., Ito M., Ohata T., Mizumaki M., Sakurai Y., Sakai N.* // J. Synchr. Rad. 2001. Vol. 8. P. 26–32.
- [20] *Alexeev V.L., Rumiantsev V.L.* // Proc. 11th Int. Symp. on Capture Gamma-Ray Spectroscopy and Related Topics / Ed. by J. Kvasil, P. Sejnar, M. Kr̃icka. World Scientific. 2003. P. 625–628.
- [21] *Alexeev V.L., Rumiantsev V.L.* Modernization of the Crystal Diffraction Gamma-Spectrometer GSK-2. Preprint PNPI-2523. Gatchina, 2003. P. 25.
- [22] *Алексеев В.Л., Румянцев В.Л.* // Изв. РАН. Сер. Физ. 2004. Т. 68. № 8. С. 1080.
- [23] *Алексеев В.Л., Румянцев В.Л., Федоров В.В.* Измерения гамма-спектра активной зоны реактора на кристалл-дифракционном гамма-спектрометре ГСК-2М. Препринт ПИЯФ-2605. Гатчина, 2005. 35 с.
- [24] *Chukhovskii F.N., Petrashen' P.V.* // Acta Cryst. 1977. Vol. A33. P. 311–319.
- [25] *Чуховский Ф.Н.* // Металлофизика. 1980. Т. 2. № 6. С. 3–28.